

УДК 530.1 : 536.42

© 1992

ФЕНОМЕНОЛОГИЧЕСКАЯ ТЕОРИЯ МАГНИТНОГО УПОРЯДОЧЕНИЯ В СИСТЕМЕ Cr₂As

B. I. Вальков, E. P. Стефановский

На основе феноменологической теории, учитывающей симметрийные соображения и взаимодействие флюктуирующих мод, описан переход второго рода парамагнетизм—антиферромагнетизм в соединении Cr₂As. Линейная зависимость от температуры параметров теории Ландау переходов второго рода объясняется с позиций теории спиновых флюктуаций в металлических магнетиках. Показано, что единая температура магнитного упорядочения для октаэдрической и тетраэдрической подсистем ионов Cr обусловлена билинейным взаимодействием между подсистемами типа анизотропного обмена.

На основе феноменологической теории, учитывающей симметрийные соображения и взаимодействие флюктуирующих мод, описан переход второго рода парамагнетизм—антиферромагнетизм в соединении Cr₂As. Линейная зависимость от температуры параметров теории Ландау фазовых переходов второго рода объясняется с позиций теории спиновых флюктуаций в металлических магнетиках.

Соединение Cr₂As имеет тетрагональную кристаллическую структуру C38, пространственная группа симметрии *P4/nmm*, проявляет металлические свойства и ниже $T=T_x=393$ К переходит из парамагнитного (ПМ) в антиферромагнитное (АФ₃) состояние. Переход ПМ—АФ₃ — изоструктурное превращение второго рода. В упорядоченной фазе магнитная ячейка удвоена вдоль тетрагональной оси 4z по отношению к химической (см. рисунок), поэтому волновой вектор *Q*, характеризующий структуру АФ₃, имеет координаты (0; 0; π/c), где *c* — размер кристаллохимической ячейки вдоль тетрагональной оси. Элементарная химическая ячейка содержит четыре, а магнитная — восемь ионов Cr. Четыре из них Cr(I) в позициях 1, 2, 5, 6 имеют тетраэдрическое окружение, создаваемое ионами As. Следующие четыре Cr(II) в позициях 3, 4, 7, 8 находятся в октаэдрических междуузлиях. Магнитные моменты ионов типа I $m=(0.4\pm 0.08)$ μ_0 , а типа II $m=(1.34\pm 0.06)$ μ_0 [1].

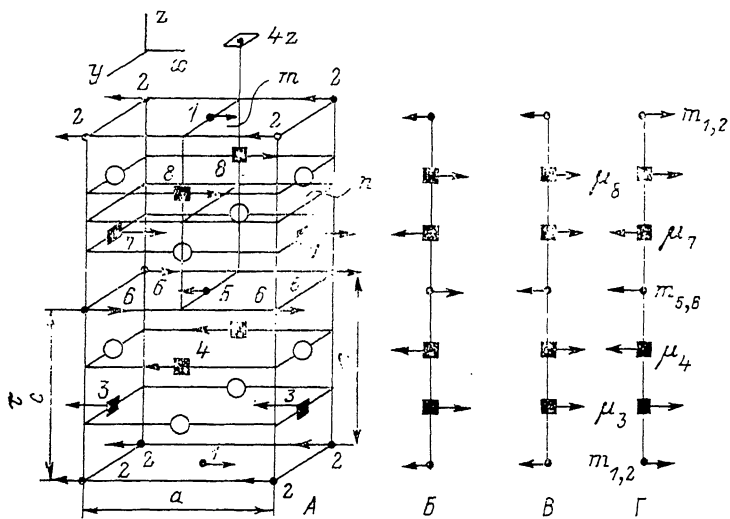
Особенностью магнитной структуры АФ₃ является компенсация молекулярного поля на ионах тетраэдрической подсистемы, созданного магнитными моментами ионов октаэдрической подсистемы, и наоборот, если учитывать только изотропное обменное взаимодействие между этими подсистемами. Поэтому в приближении изотропного обмена сумма билинейных взаимодействий типа $\sum_{i,j} w_{ij} \mu_i \mu_j = 0$, что приводит к некоррелированному упорядочению обеих подсистем, т. е. к существованию двух критических температур, а это противоречит экспериментальным результатам работы [1], откуда следует, что обе подсистемы упорядочиваются при $T=393$ К.

В настоящей работе на основе симметрийного анализа нами найдены билинейные формы, позволяющие связать обе подсистемы и при этом сохранить инвариантность термодинамического потенциала относительно соответствующей группы симметрии.

Для последующих вычислений удобно перейти от локальных магнитных моментов m и μ к неприводимым магнитным векторам \tilde{M} и M , которые отличны от нуля в магнитной структуре $A\Phi_3$

$$\begin{aligned}\tilde{M} &= m_1 - m_2 - m_5 + m_6, \\ M &= \mu_3 + \mu_4 - \mu_7 - \mu_8,\end{aligned}\quad (1)$$

где m_i , μ_i — средние векторы магнитных моментов в тетраэдрической, октаэдрической подсистеме соответственно.



Кристаллическая и магнитные структуры Cr_2As и других соединений.

A — $A\Phi_3$ (Cr_2As), B — ФИМ, (Mn_2Sb), C — $A\Phi_4$ (Mn_3As), D — $A\Phi_5$ (Fe_2As). Символы $4z$, n , m , τ обозначают следующие элементы симметрии: $4z$ — тетрагональная ось четвертого порядка; n — плоскость скользящего отражения с трансляцией на половину диагонали квадрата основания со стороной a ; m — плоскость зеркального отражения; τ — трансляция вдоль оси $4z$ на период кристаллохимической ячейки c . Точки соответствуют ионам типа I с тетраэдрическим окружением ионами мышьяка (сурымы) (светлые кружки) и ионам типа II с октаэдрическим окружением (квадраты).

Векторы \tilde{M} , M описывают магнитное состояние каждой из подсистем в целом. Тогда неравновесный термодинамический потенциал Φ можно представить в виде степенного ряда

$$\begin{aligned}\Phi = \frac{1}{2} \tilde{a}_1 \tilde{M}^2 + \frac{1}{4} \tilde{a}_3 \tilde{M}^4 + \dots \frac{1}{2} a_1 M^2 + \frac{1}{4} a_3 M^4 + \dots \\ \dots + a_2 (\tilde{M}_x M_x - \tilde{M}_y M_y) + a_4 \tilde{M}_z M_z.\end{aligned}\quad (2)$$

Последние слагаемые обуславливают связь между подсистемами в билинейной форме, сохраняют инвариантность Φ (см. таблицу преобразований \tilde{M} , M), а их природа связана с анизотропным обменным взаимодействием. Члены типа (\tilde{M}, M) , согласно таблице, не являются инвариантами, поэтому не включены в (2). Коэффициенты \tilde{a} , a зависят от температуры.

Уравнения состояния имеют вид

$$\begin{aligned}\tilde{a}_1 \tilde{M}_x + a_2 M_x + \tilde{a}_3 \tilde{M}_x^3 &= 0, \quad a_2 \tilde{M}_x + a_1 M_x + a_3 M_x^3 = 0, \\ \tilde{a}_1 \tilde{M}_y - a_2 M_y + \tilde{a}_3 \tilde{M}_y^3 &= 0, \quad -a_2 \tilde{M}_y + a_1 M_y + a_3 M_y^3 = 0, \\ \tilde{a}_1 \tilde{M}_z + a_4 M_z + \tilde{a}_3 \tilde{M}_z^3 &= 0, \quad a_4 \tilde{M}_z + a_1 M_z + a_3 M_z^3 = 0\end{aligned}\quad (3)$$

и допускают 6 типов решений. В случае $a_2 < 0$ и $|a_4| > |a_2|$ энергетически наименее выгодным оказывается решение $\tilde{M}_y = M_y = \tilde{M}_z = M_z = 0$, $M_x \neq 0$, $\tilde{M}_x \neq 0$, которое соответствует структуре¹ АФ₃ и стабилизируется ниже $T = T_N$, определяемой из уравнения

$$\tilde{a}_1 a_1 - a_2^2 = 0. \quad (4)$$

Для решения (4) необходимо знать явную зависимость коэффициентов a_1 , a_4 , a_2 от температуры. Полагая a_2 постоянной, а

$$\tilde{a}_1(T) = |\tilde{a}_1(0)|(-1 + \tilde{c}T), \quad a_1(T) = |a_1(0)|(-1 + cT), \quad (5)$$

для T_N будем иметь

$$T_N = \{(\tilde{c} + c) + \{(\tilde{c} - c)^2 + 4\tilde{c}ce\}^{1/2}\}/2\tilde{c}c, \quad (6)$$

где

$$e = a_2^2/\tilde{a}_1(0) a_1(0).$$

Однако для металлов и их сплавов допущение линейной зависимости (5) требует пояснения. Действительно, для магнетиков с коллективизированными d -электронами

Перестановки ионов и преобразования неприводимых магнитных векторов и их компонент под действием генераторов группы симметрии ($P_4/nmm \times \tau$)

Номер иона	$4z$	n	m	τ	$4z \times \tau$	$n \times \tau$	$m \times \tau$
1	2	6	1	5	6	2	5
2	1	5	2	6	5	1	6
5	6	2	5	1	2	6	1
6	5	1	6	2	1	5	2
3	3	4	3	7	7	8	7
4	4	3	4	8	8	7	8
7	7	8	7	3	3	4	3
8	8	7	8	4	4	3	4
M	+	+	+	—	—	—	—
M	—	+	+	—	—	—	—
(M_x) , (\tilde{M}_x)	$(0 \ 1)$	$(1 \ 0)$	$(1 \ 0)$	$(0 \ -1)$	$(1 \ 0)$	$(0 \ 1)$	$(1 \ 0)$
(M_y) , (\tilde{M}_y)	$(-1 \ 0)$	$(0 \ 1)$	$(0 \ -1)$	$(0 \ 1)$	$(-1 \ 0)$	$(0 \ 1)$	$(0 \ -1)$

tronами, согласно зонной теории, коэффициенты $a(T)$ определяются кривыми плотности состояний и зависят от температуры в соответствии с

$$a_1(T) = |a_1(0)|(-1 + (T/T_\Phi)^2/|a_1(0)|), \quad (7)$$

где T_Φ — энергия Ферми (T измеряется в энергетических единицах). При этом в области температур, близких к реальным критическим температурам, $(T/T_\Phi) \ll 1$ и $a(T) \approx a(0) < 0$. Поэтому традиционная зонная теория, успешно применяемая для описания свойств основного состояния, терпит неудачу при описании температурной зависимости свойств магнетиков: она не может объяснить закон Кюри—Вейса для парамагнитной восприимчивости, дает завышенные значения для температур Кюри и Нееля и приводит к полному разрушению локального магнитного момента выше этих температур. Поэтому часто для

¹ Заметим, что при $a_2 > 0$ и $a_4 > 0$ реализуется тоже магнитная структура АФ₃ с той лишь разницей, что $\tilde{M}_x = M_x = \tilde{M}_z = M_z = 0$, $\tilde{M}_y \neq 0$, $M_y \neq 0$.

объяснения температурного поведения металлических магнетиков использовалась модель Гейзенберга.

В последнее время Мория [2] создана единая теория магнетизма, которая объединяет два подхода: зонный и гейзенберговский. В этой теории все электроны по-прежнему считаются коллективизированными и свободно распространяющимися в металле, локализованы лишь произвольно флюктуирующие обменные поля за счет резкой «атомной» модуляции неспаренной спиновой плотности. Мы используем феноменологическую версию этой теории, предложенную Шимипу [3]. В этом случае вместо однородных векторов $\tilde{\mathbf{M}}$, \mathbf{M} вводим пространственно зависящие векторы $\tilde{\mathbf{M}}(\mathbf{r})$ и $\mathbf{M}(\mathbf{r})$

$$\tilde{\mathbf{M}}(\mathbf{r}) = \tilde{\mathbf{M}} + \tilde{\mathbf{m}}(\mathbf{r}), \quad \mathbf{M}(\mathbf{r}) = \mathbf{M} + \mathbf{m}(\mathbf{r}),$$

где под точкой r подразумевается физический объем, соответствующий объему элементарной ячейки, в пределах которого $\tilde{\mathbf{M}}(\mathbf{r})$, $\mathbf{M}(\mathbf{r})$ не изменяются; $\tilde{\mathbf{M}}$, \mathbf{M} — средние значения,

$$\mathbf{m}(\mathbf{r}) = \sum_{\mathbf{q}; i} \tilde{\mathbf{m}}_{\mathbf{q}; i} e^{i(\mathbf{qr})}, \quad \mathbf{m}(\mathbf{r}) = \sum_{\mathbf{q}; i} \mathbf{m}_{\mathbf{q}; i} e^{i(\mathbf{qr})}$$

флюктуации, причем вектор \mathbf{q} отсчитывается от волнового вектора $\mathbf{Q}(0; 0; \pi/c)$.

Тогда неполный термодинамический потенциал можно представить в виде следующего функционала:

$$\begin{aligned} \Phi = & \int d^3r \left\{ \frac{1}{2} \tilde{a}_1 \tilde{\mathbf{M}}^2(\mathbf{r}) + \frac{1}{4} \tilde{a}^3 \tilde{\mathbf{M}}^4(\mathbf{r}) + \dots + \frac{1}{2} \tilde{A} |\tilde{\mathbf{M}}(\mathbf{r})|^2 + \frac{1}{2} a_1 \mathbf{M}^2(\mathbf{r}) + \right. \\ & + \frac{1}{4} a_3 \mathbf{M}^4(\mathbf{r}) + \dots + \frac{1}{2} A |\nabla \mathbf{M}(\mathbf{r})|^2 + \sum_i a_{2i} \tilde{\mathbf{M}}_i(\mathbf{r}) \cdot \mathbf{M}_i(\mathbf{r}) \Big\} = \\ = & \frac{V}{2} \left\{ \sum_i \tilde{M}_i^2 (\tilde{a}_1 + \tilde{a}_3 (\sum_{\mathbf{q}} (|\tilde{\mathbf{m}}_{\mathbf{q}}|^2 + 2 |\tilde{\mathbf{m}}_{\mathbf{q}; i}|^2)) + \frac{1}{2} \tilde{a}^3 \tilde{\mathbf{M}}^4 + \right. \\ & + \sum_i M_i^2 (a_1 + a_3 (\sum_{\mathbf{q}} (|\mathbf{m}_{\mathbf{q}}|^2 + 2 |\mathbf{m}_{\mathbf{q}; i}|^2)) + \frac{1}{2} a_3 \mathbf{M}^4 + \sum_i a_{2i} \tilde{M}_i M_i + \\ & + \sum_{\mathbf{q}} (\tilde{a}_1 + \tilde{A} \mathbf{q}^2) |\tilde{\mathbf{m}}_{\mathbf{q}}|^2 + \sum_{\mathbf{q} \mathbf{q}' \mathbf{q}''} \tilde{a}_3 (\tilde{\mathbf{m}}_{\mathbf{q}} \cdot \tilde{\mathbf{m}}_{-\mathbf{q}}) (\tilde{\mathbf{m}}_{\mathbf{q}''} \cdot \tilde{\mathbf{m}}_{\mathbf{q}' - \mathbf{q}'' - \mathbf{q}}) + \sum_{\mathbf{q}} (a_1 + A \mathbf{q}^2) |\mathbf{m}_{\mathbf{q}}|^2 + \\ & \left. + \frac{1}{2} \sum_{\mathbf{q} \mathbf{q}' \mathbf{q}''} a_3 (\mathbf{m}_{\mathbf{q}} \cdot \mathbf{m}_{-\mathbf{q}'}) (\mathbf{m}_{\mathbf{q}''} \cdot \mathbf{m}_{\mathbf{q}' - \mathbf{q}'' - \mathbf{q}}) + \sum_{\mathbf{q}; i} a_{2i} \tilde{\mathbf{m}}_{\mathbf{q}; i} \cdot \mathbf{m}_{-\mathbf{q}; i} \right\}, \end{aligned} \quad (8)$$

где

$$i \in x, y, z, \quad a_{2x} = -a_{2y} = -a_2 < 0, \quad a_{2z} = a_4 > 0,$$

$$\mathbf{m}_{\mathbf{q}} = \sum_i \mathbf{m}_{\mathbf{q}; i},$$

A , \tilde{A} — константы обменной жесткости; V — объем. Равновесный же термодинамический потенциал $\tilde{\Phi}$ определяется выражением

$$\tilde{\Phi} = -T \ln \int \exp \left(-\frac{\Phi}{T} \right) \Pi_{\mathbf{qq}'} d\tilde{\mathbf{m}}_{\mathbf{q}} d\mathbf{m}_{\mathbf{q}'} \equiv -T \ln Z, \quad (9)$$

где равновесные значения \tilde{M}_i , M_i можно найти из уравнений

$$\partial \tilde{\Phi} / \partial \tilde{M}_i = 0, \quad \partial \tilde{\Phi} / \partial M_i = 0,$$

т. е.

$$\begin{aligned} \tilde{M}_i \tilde{a}_i + M_i a_{2i} + \tilde{M}_i^3 \tilde{a}_3 &= 0, \\ \tilde{M}_i a_{2i} + M_i a_i + M_i^3 \tilde{a}_3 &= 0, \end{aligned} \quad (10)$$

причем

$$\begin{aligned}\tilde{a}_i &= \tilde{a}_1(0) + \tilde{a}_3(\xi^2 \mp 2\xi_z^2), \\ a_i &= a_1(0) + a_3(\xi^2 + 2\xi_z^2).\end{aligned}$$

$$\xi^2 = \sum_i \xi_i^2 \equiv \sum_q \xi_{qi}^2 \equiv \sum_q \langle |m_{qi}|^2 \rangle = \sum_q Z^{-1} \int \left\{ |m_{qi}|^2 \exp\left(-\frac{\Phi}{T}\right) \right\} \times$$

$$\times \Pi_{q,i} \Pi_{q',i'} d\tilde{m}_{qi} \cdot dm_{q'i'}. \quad (11)$$

Система уравнений состояния (10) аналогична (3), если считать, что источником температурной зависимости коэффициентов a_i являются средние квадратичные флуктуации намагниченности ξ^2 , ξ_z^2 , для вычисления которых мы использовали гауссово приближение (вместо Φ в (11) используется гауссова форма Φ_0)

$$\Phi_0 = \frac{V}{2} \sum_{qi} (\tilde{a}_{qi} |\tilde{m}_{qi}|^2 + a_{qi} |m_{qi}|^2 + a_{2i} \tilde{m}_{qi} m_{-qi}), \quad (12)$$

где

$$\tilde{a}_{qi} = \tilde{a}_i + \tilde{A}q^2, \quad a_{qi} = a_i + Aq^2.$$

После диагонализации Φ_0 (см., например, [4]) интегралы в (11) берутся элементарно. В итоге

$$\begin{aligned}\xi^2 + 2\xi_z^2 &= \sum_{q,i} \frac{a_{qx} \cdot 3T}{(a_{qx}\tilde{a}_{qi} - a_z^2)V} \approx \frac{3T}{4\pi^2} \frac{\tilde{q}_c}{A}, \\ \xi^2 + 2\xi_z^2 &= \sum_q \frac{\tilde{a}_{qx} \cdot 3T}{(a_{qx}\tilde{a}_{qx} - a_z^2)V} \approx \frac{3T}{4\pi^2} \frac{q_c}{A},\end{aligned} \quad (13)$$

где \tilde{q}_c , q_c — граничные волновые векторы. (Правые части в (13) получены при замене суммирования по q интегрированием по сфере радиуса q_c в предположении $a_i(0) a_i(0) \gg a_{2i}^2$).

В этом случае коэффициенты \tilde{c} , c в (6) имеют вид

$$\begin{aligned}\tilde{c} &= \frac{3}{4\pi^2 A |\tilde{a}_1(0)|} \tilde{q}_c \tilde{a}_c, \\ c &= \frac{3}{4\pi^2 A |a_1(0)|} q_c a_3.\end{aligned}$$

В заключение отметим, что более реалистическое описание магнитного фазового перехода в Cr₂As должно включать в неполный термодинамический потенциал энергию максимально возможного набора взаимодействующих мод, описываемых другими магнитными неприводимыми векторами. Для рассматриваемой кристаллической решетки из симметрийного анализа вытекает существование еще трех пар неприводимых векторов \tilde{M}_n , M_n , описывающих соизмеримые магнитные структуры. Если используемым выше векторам \tilde{M} , M присвоить номер 3, то остальные пары конструируются следующим образом:

$$\begin{aligned}\tilde{M}_1 &= m_1 + m_2 + m_5 + m_6, \quad M_1 = \mu_3 + \mu_4 + \mu_7 + \mu_8, \\ \tilde{M}_2 &= m_1 + m_2 - m_5 - m_6, \quad M_2 = \mu_3 - \mu_4 - \mu_7 + \mu_8, \\ \tilde{M}_4 &= m_1 - m_2 + m_5 - m_6, \quad M_4 = \mu_3 - \mu_4 + \mu_7 - \mu_8.\end{aligned}$$

Здесь первая пара описывает ферромагнитное состояние ФИМ₁ в изоструктурном соединении Mn₂Sb при $\tilde{M}_1 \uparrow\downarrow M_1$, вторая — АФ₁ (Fe₂As), если $\tilde{M}_2 \uparrow\uparrow M_2$ или АФ₂(Mn₂As) при $M_2 \uparrow\downarrow M_2$, и третья пара — АФ₄ с волновым вектором $Q=0$ [5].

Необходимость использования расширенного базиса неприводимых векторов становится очевидной хотя бы на примере описания поведения соединения Cr₂As

в присутствии постоянного магнитного поля H , энергия взаимодействия с которым определяется выражением

$$-\mathbf{H}_{\mu_0}(\tilde{\mathbf{M}}_1(r) + \mathbf{M}_1(r)).$$

Из трансформационных свойств векторов $\tilde{\mathbf{M}}_n$, \mathbf{M}_n легко показать, что инвариантные члены, описывающие взаимодействие моды 3 со всеми остальными модами (1), (2), (4), определяются следующей суммой:

$$\Sigma_n \{ \tilde{\mathbf{M}}_3^2 (\tilde{a}_{3n} \tilde{\mathbf{M}}_n^2 + \tilde{b}_{3n} \mathbf{M}_n^2) + \mathbf{M}_3^2 (a_{3n} \mathbf{M}_n^2 + b_{3n} \tilde{\mathbf{M}}_n^2) \}.$$

Поэтому коэффициенты \tilde{a}_i , a_i (см. (10)) принимают вид

$$\tilde{a}_i = \tilde{a}_1(0) + \tilde{a}_3(\tilde{\xi}_3^{i2} + 2\xi_{3i}^{i2}) + \Sigma_n (\tilde{a}_{3n} \xi_n^{i2} + b_{3n} \tilde{\xi}_n^{i2}).$$

Естественно, что вычисление температурной зависимости $a_x(T)$, $\tilde{a}_x(T)$ в этом случае — задача несравненно более сложная, однако идейная сторона остается прежней: причина магнитного разупорядочения — взаимодействие спиновых флюктуаций.

В этом уточненном варианте модель не только позволяет рассчитывать парамагнитную восприимчивость, но и анализировать возможность флюктуационных переходов в другие магнитоупорядоченные фазы, а также находить условия существование фаз [3].

Список литературы

- [1] Yamaguchi Y., Watanabe H., Yamauchi H. // J. Phys. Soc. Japan. 1972. V. 32. N 4. P. 958—963.
- [2] Мория Т. Спиновые флюктуации в магнетиках с коллективизированными электронами. М.: Мир, 1988. 288 с.
- [3] Shinizu M. // J. Magn. Matt. 1984. V. 45. N 1. P. 144—150.
- [4] Иванченко Ю. М., Лисянский А. А., Филиппов А. Э. Флюктуационные эффекты в системах с конкурирующими взаимодействиями. Киев: Наукова думка, 1989. 280 с.

Донецкий физико-технический институт
АН Украины

Поступило в Редакцию
16 октября 1990 г.
В окончательной редакции
21 мая 1991 г.